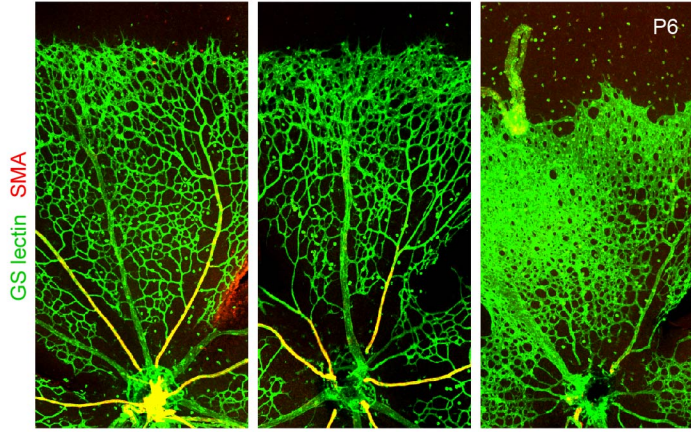
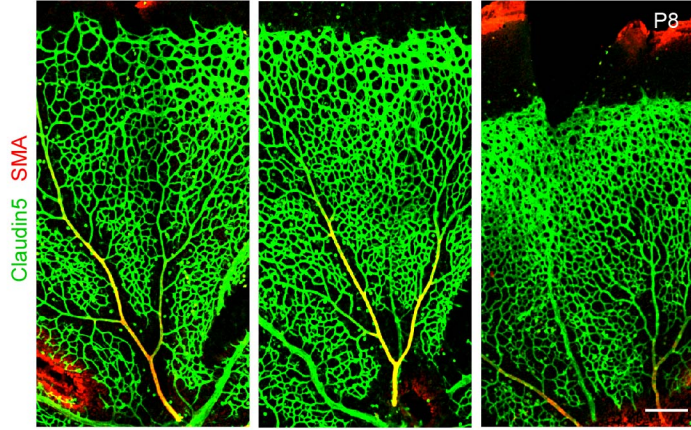


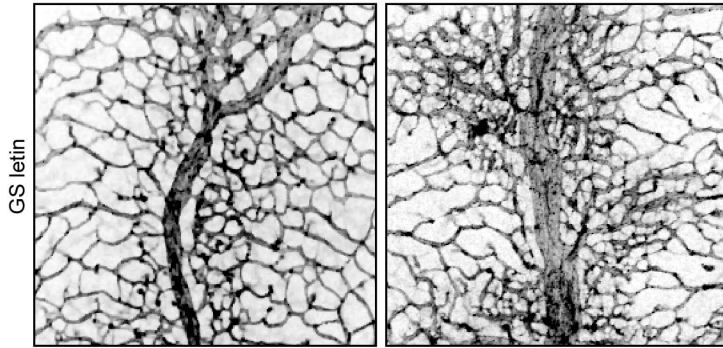
A $Sox17^{CKO/+}; Sox18^{+/-}; PDGFB-CreER$ $Sox17^{CKO/+}; Sox18^{-/-}; PDGFB-CreER$ $Sox17^{CKO/CKO}; Sox18^{-/-}; PDGFB-CreER$



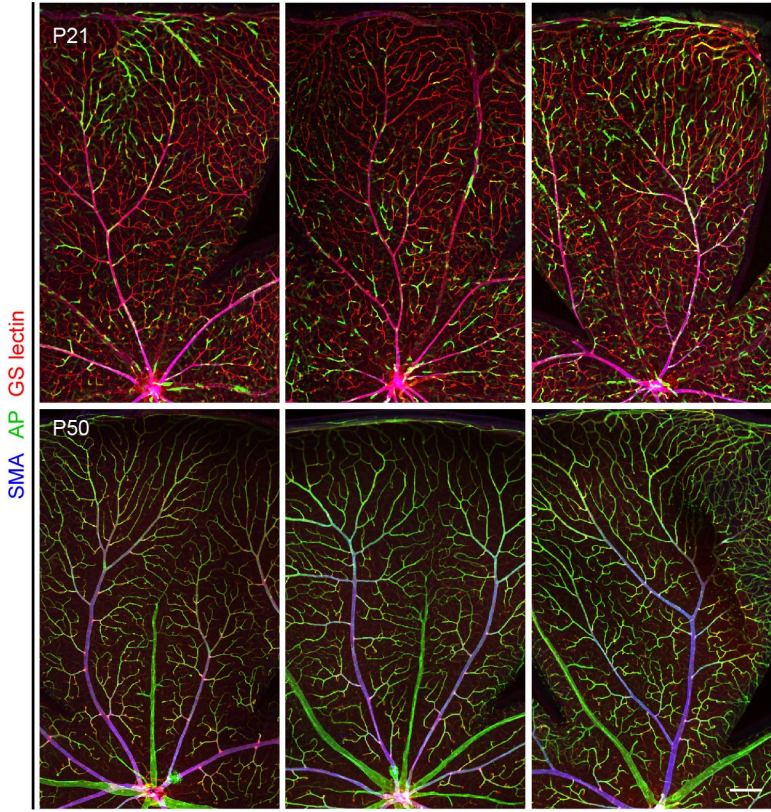
B $Sox18^{+/-}$ $Sox17^{CKO/+}; Sox18^{-/-}; PDGFB-CreER$ $Sox17^{CKO/-}; Sox18^{+/-}; PDGFB-CreER$



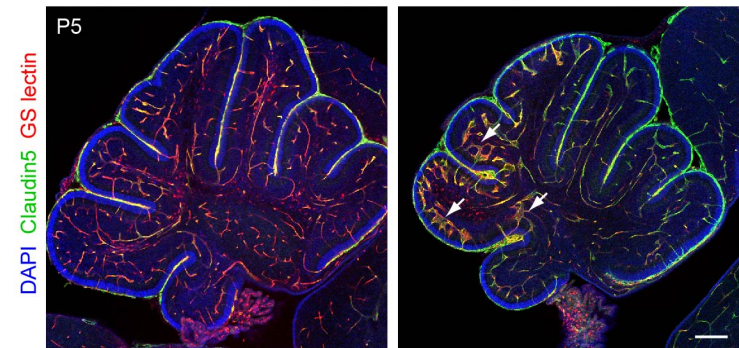
D $Sox18^{+/-}$ $Sox17^{CKO/-}; Sox18^{+/-}; PDGFB-CreER$



C $Sox17^{CKO/+}; Sox18^{-/-}; PDGFB-CreER$ $Sox17^{CKO/-}; Sox18^{+/-}; PDGFB-CreER$ $Sox17^{CKO/-}; Sox18^{-/-}; PDGFB-CreER$



E $Sox18^{+/-}$ $Sox17^{CKO/-}; Sox18^{+/-}; PDGFB-CreER$



Zhou et al, Figure S4